ВОЛКОВ Дмитрий Вячеславович

ЭЛЕКТРИЧЕСКИЕ И МАГНИТНЫЕ СВОЙСТВА ТВЁРДЫХ РАСТВОРОВ НА ОСНОВЕ МАНГАНИТА ЛАНТАНА-ВИСМУТА И ТИТАНАТОВ-ЦИРКОНАТОВ ЩЁЛОЧНОЗЕМЕЛЬНЫХ МЕТАЛЛОВ

Специальность

1.3.8 Физика конденсированного состояния

Автореферат

диссертации на соискание ученой степени
кандидата физико-математических наук

Работа выполнена в отделе интеллектуальных материалов и нанотехнологий Научно-исследовательского института физики Южного федерального университета.

Научный	доктор физико-математических наук		
руководитель:	Вербенко Илья Александрович (Южный федеральный университет, Научно- исследовательский институт физики, главный научный сотрудник)		
Официальные оппоненты:	доктор физико-математических наук, профессор Малышкина Ольга Витальевна (Тверской государственный университет, кафедра компьютерной безопасности и математических методов управления, профессор)		
	кандидат физико-математических наук Амиров Абдулкарим Абдулнатипович (Национальный исследовательский центр «Курчатовский институт», УСИУ «СИЛА», старший научный сотрудник)		

Защита диссертации состоится 19 июня 2024 года в 15:00 часов на заседании диссертационного совета ЮФУ801.01.06 по физико-математическим наукам (специальности 1.3.8. Физика конденсированного состояния и 1.3.20. Кристаллография, физика кристаллов) при НИИ физики ЮФУ по адресу: Ростов-на-Дону, пр-т Стачки, 194, НИИ физики ЮФУ, ауд. 411.

С диссертацией можно ознакомиться в Зональной научной библиотеке имени Ю.А. Жданова Южного федерального университета по адресу: Ростов-на-Дону, ул. Зорге, 21Ж и на официальном сайте: https://hub.sfedu.ru/diss/show/1326994.

Автореферат разослан

мая 2024 года

Отзыв на автореферат (в нем укажите дату, полностью свои фамилию, имя, отчество, ученую степень со специальностью, звание, организацию, подразделение, должность, адрес, телефон, е-таіl и с согласием на обработку персональных данных) с нумерацией страниц, с заверенной подписью рецензента и печатью учреждения, следует направлять Гегузиной Г.А., ученому секретарю диссертационного совета ЮФУ01.07 обязательно в формате .pdf - нa e-mail geguzina@sfedu.ru, а затем в бумажном виде в 2 экз. по адресу: г. Ростов-на-Дону, просп. Стачки, 194, НИИ физики ЮФУ.

Ученый секретарь диссертационного совета ЮФУ01.07 при НИИ физики ЮФУ

Гегузина Галина Александровна

ОБЩАЯ ХАРАКТЕРИСТИКА РАБОТЫ

Актуальность темы. Особенности современных тенденций в развитии запросы к разрабатываемым техники создают жёсткие материалам, значительно расширяющие их технические регламенты области применения. Одним из результатов этого стало возникновение в физике конденсированного состояния новых классов материалов направлений научных исследований, В TOM числе исследования мультиферроиков и экологически безопасных материалов.

Наиболее исследуемыми в настоящее время сегнетоактивными материалами являются экологически чистые бессвинцовые керамические материалы, использование которых при разработке устройств позволит значительно снизить загрязнение окружающей среды. Сегнетоэлектрические материалы применяются во многих областях науки и техники [1]. Например, их применяют при разработке устройств накопления, хранения, отдачи электрической энергии в зависимости от величины их диэлектрической проницаемости и устойчивости к высоким напряжениям. С этой точки зрения востребованными являются диэлектрики, в которых при разных температурах существуют упорядоченные зарядовые подсистемы: сегнетоэлектрическая или антисегнетоэлектрическая.

Системы твёрдых растворов (TP) на основе таких диэлектриков исследуются на предмет наличия морфотропных областей, в которых достигаются высокие значения диэлектрической проницаемости и пьезоэлектрических параметров. Тем не менее, изготовление TP различных составов осложнено тем, что, во-первых, их конечные компоненты спекаются при различных температурах, а во-вторых, их химическим разложением как на границах разных фаз материала, так и по всему его объёму. Решение этих проблем, на ряду с другими, может позволить создать перспективные основы для надёжных и высокоэффективных накопителей электрической энергии, которые за счёт своей большой энергоёмкости, высокого КПД и широкого

диапазона рабочих температур, составили бы конкуренцию существующим подобным накопителям.

К другой группе относятся материалы, сочетающие в себе сегнетоэлектрические, магнитные и/или сегнетоэластические свойства. В них, кроме того, наблюдаются такие эффекты, как магнитоэлектрический, магнитодиэлектрический и эффект магнетосопротивления, необходимые для создания устройств управления электрическим и магнитным полями [2 - 3], энергонезависимой памяти, в том числе и для развития спинтроники.

Известны ТР на основе манганита лантана-висмута, которые могут быть мультиферроиками, а также ТР титанатов-цирконатов бария, которые могут использоваться в качестве накопителей энергии. При введении различных модификаторов и варьировании методов получения, они могли бы стать основой новых функциональных материалов, в которых могут возникать эффекты, подобные описанным выше.

Таким образом, чтобы удовлетворять современным технологическим запросам, сегнетоэлектрики и магнитные материалы должны обладать экологичностью, управляемостью параметрами, однородностью состава, чтобы использовать их при разработке и создании новых устройств микро- и наноэлектронной техники, записи информации и управления магнитным полем. Суммируя всё сказанное выше, можно заключить, что комплексное изучение закономерностей формирования структуры и свойств бессвинцовых многокомпонентных сегнетоактивных сред является актуальными задачами физики конденсированного состояния и материаловедения.

Цель работы: установить закономерности фазобразования и формирования макрооткликов керамических твёрдых растворов на основе $Bi_{0.5}La_{0.5}MnO_3$ и $BaZr_xTi_{1-x}O_3$ и влияния на них различных модификаторов.

Для достижения поставленной цели необходимо было решить задачи:

• оптимизировать существующие технологические регламенты и синтезировать партии опытных образцов TP на основе $Bi_{0.5}La_{0.5}MnO_3$ и $BaZr_xTi_{1-x}O_3$;

- установить взаимосвязь между структурными характеристиками, микроструктурой, диэлектрическими откликами и магнитными свойствами исследуемых ТР в широком интервале температур и электрических полей:
- установить корреляционные связи «состав структура свойства» в исследуемых ТР;
- определить механизмы магнитных и зарядовых упорядочений, и формирования на их основе макрооткликов исследуемых ТР;
- сформулировать выводы и определить возможности применения полученных сегнетоактивных материалов на практике.

Научная новизна полученных результатов. В ходе выполнения работы впервые:

- ullet синтезированы системы TP: (La $_{0.5}$ Bi $_{0.5}$)_{1-x}Pb $_x$ MnO₃, (La $_{0.5}$ Bi $_{0.5}$)_{1-x}Ba $_x$ MnO₃ Bi $_{0.5}$ La $_{0.5}$ Mn $_{1-x}$ Co $_x$ O₃, Bi $_{0.5}$ La $_{0.5}$ Mn $_{1-x}$ Fe $_x$ O₃ и Bi $_{0.5}$ La $_{0.5}$ Mn $_{0.98}$ Nb $_{0.02}$ O₃;
- установлено влияние катионного состава на фазообразование, структурные, диэлектрические и магнитные свойства ТР: $(La_{0.5}Bi_{0.5})_{1-x}Pb_xMnO_3$, $(La_{0.5}Bi_{0.5})_{1-x}Ba_xMnO_3$ при x=0.03, 0.05 или 0.10, $Bi_{0.5}La_{0.5}Mn_{1-x}Co_xO_3$, $Bi_{0.5}La_{0.5}Mn_{1-x}Fe_xO_3$ при x=0.05, 0.10 или 0.15 и $Bi_{0.5}La_{0.5}Mn_{0.98}Nb_{0.02}O_3$;
- синтезированы системы TP: $BaTi_{1-x}Zr_xO_3$ где x=0.10,0.15,0.20,0.25,0.30 или 0.45. A также модифицированные TP на их основе: $(1-x)BaTi_{0.85}Zr_{0.15}O_3$ — $xAgNbO_3$, $(1-x)BaTi_{0.80}Zr_{0.20}O_3$ — $xAgNbO_3$, $(1-x)BaTi_{0.75}Zr_{0.25}O_3$ — $xAgNbO_3$, $(1-x)BaTi_{0.70}Zr_{0.30}O_3$ — $xAgNbO_3$ где x=0.03,0.06 или 0.09;
- экспериментально найдены оптимальные условия приготовления системы TP между $BaTi_{1-x}Zr_xO_3$ и $AgNbO_3$ методом двухстадийного твердофазного синтеза с последующим спеканием по обычной керамической технологии;

• установлено влияние на фазообразование, структурные, и диэлектрические характеристики катионного состава и термодинамической предыстории в $TP\ BaTi_{1-x}Zr_xO_3$ и $AgNbO_3$.

Теоретическая и практическая значимость полученных результатов разработаны заключается TOM. что И созданы бессвинцовые многокомпонентные диэлектрические среды, проявляющие одновременно макроскопических несколько принципиально разных откликов: сегнетоэлектрических, релаксорных, ферромагнитных, что позволяет достичь высоких значений диэлектрической проницаемости, пьезоэлектрических параметров, чувствительности к магнитному полю и плотности энергии. Это позволит расширить список материалов для востребованной электронной компонентной базы, создать перспективные основы для надёжных и высокоэффективных датчиков, преобразователей, а также, накопителей энергии, которые за счёт большой энергоёмкости, высокого КПДи широкого диапазона рабочих температур, составят конкуренцию существующим накопителям электрической энергии.

В ходе выполнения работы:

- разработаны регламенты получения керамических материалов на основе модифицированных TP Bi_{0.5}La_{0.5}MnO₃ и BaZr_xTi_{1-x}O₃;
- установлены связи «состав структура свойства» для модифицированных ТР $Bi_{0.5}La_{0.5}MnO_3$ и $BaZr_xTi_{1-x}O_3$;
- определены основные приложения для исследованных объектов и дальнейшие пути усовершенствования их свойств.

Основные научные положения, выносимые на защиту

1. При введении в A-подрешётку лантан-висмутового манганита катионов бария или свинца для полученных методом двухстадийного твердофазного синтеза и спечённых по обычной керамической технологии твёрдых раствор ов $(Bi_{0.5}La_{0.5})_{1-x}Ba_xMnO_3$ и $(Bi_{0.5}La_{0.5})_{1-x}Pb_xMnO_3$ где x=0.05...0.10 коэффициенты магнитодиэлектрического эффекта и эффекта магнитосопротивления

увеличиваются при B = 0.86 Тл и T = 80 К, по сравнению с лантан-висмутовым манганитом на фоне повышения плотности, однородности микроструктуры керамики и снижения доли катионов Mn^{4+} .

- 2. При замещении в B-подрешётке лантан-висмутового манганита катионов марганца катионами железа или кобальта в твёрдых растворах $Bi_{0.5}La_{0.5}Mn_{1-x}Fe_xO_3$, $Bi_{0.5}La_{0.5}Mn_{1-x}Co_xO_3$ при x=0.15 происходит ослабление, по сравнению с лантан-висмутовым манганитом, эффекта магнитосопротивления, что связано с разрывом цепочек сверхобменного взаимодействия Mn^{3+} — O^{2-} — Mn^{4+} .
- 3. Применение механоактивации перед спеканием твёрдых растворов $BaZr_xTi_{1-x}O_3$ с x=0.10...0.45 позволяет оптимизировать температурновременные регламенты, в том числе, добиться снижения температуры спекания на 50 K, повышения относительной плотности, однородности структуры и микроструктуры керамики, а также уменьшения размеров полярных областей, что приводит к снижению температуры максимума диэлектрической проницаемости и усилению его размытия при x=0.10...0.15.
- 4. Введение от 3 до 9 мол. % AgNbO₃ в твёрдые растворы BaZr $_x$ Ti $_{1-x}$ O₃ в морфотропной области, где x=0.15...0.30, приводит к формированию двух сосуществующих перовскитных фаз, возникновению широкой области температурной стабильности диэлектрической проницаемости и способствует переходу твёрдых растворов в состояние типа дипольного стекла при температуре ниже 100 К.

Надёжность и достоверность полученных результатов основаны на фактах использования комплекса взаимодополняемых экспериментальных методов, метрологически аттестованной технологической и измерительной аппаратуры, а также обусловлены проведением исследований на большом количестве образцов каждого состава. Отмечаются беспримесность изготовленных опытных образцов ТР, высокая плотность образцов, однородность их поверхностей и сколов, воспроизводимость структурных и диэлектрических характеристик от образца к образцу внутри каждой группы.

Апробация основных результатов исследования проведена на следующих научных Международный молодёжный симпозиум «Физика бессвинцовых пьезоактивных и родственных материалов. (Анализ современного состояния и перспективы развития)» 2019 – 2022; Межударная научно-практическая конференция "Открытые физические чтения" г. Луганск, 2019 - 2021 г; Anniversary International Conference on "Physics and Mechanics of New Materials and Their Applications" PHENMA 2019, 2022; Международный молодёжный научный форум «ЛОМОНОСОВ» 2021-2022 г; 10(15) Международном семинаре по физике сегнетоэластиков 2022; 54-й Школе ПИЯФ по физике конденсированного состояния, 2020; Международной онлайн-конференции «Исследование материалов российскими учёными. сегнетоэлектрических Столетие открытия сегнетоэлектричества» (СЭ-100) 2020. Всероссийская научная конференция студентовфизиков и молодых учёных (ВНКСФ-26, 2020 и ВНКСФ-26.2 2022); Всероссийской конференции по физике сегнетоэлектриков (ВКС-XXII) 2021; III Молодёжной всероссийской с международным участием научной конференции "Актуальные проблемы пьезоэлектрического приборостроения" 2021; XI Всероссийской научно-практической конференции студентов, аспирантов и молодых учёных 2022 Ежегодная молодёжная научная конференция «Достижения и перспективы научных исследований молодых учёных Юга России», 2019-2023.

Публикации автора. Основные результаты опубликованы в 21 работе, из них 3 статьи в рецензируемых российских и зарубежных изданиях и 1 глава зарубежной коллективной монографии, индексируемые в БД Scopus, а также 1 статья в журнале из Перечня ВАК РФ, 2 статьи в других российских журналах, 12 статей и 2 тезиса в трудах международных и всероссийских конференций, индексируемые в БД РИНЦ.

Личный вклад автора состоит в его участии на всех этапах изготовления керамических образцов ТР совместно с Сорокун Т. Н. и Глазуновой Е. В.; во всех измерениях диэлектрических свойств, в широком интервале температур совместно с Кубриным С. П. и Ситало Е. И. Автор самостоятельно измерил магнитные свойства ТР в широком диапазоне частот и температур, получил петли гистерезиса «поляризация – электрическое поле» и провёл их цифровую обработку. Автор непосредственно участвовал в описании структуры образцов совместно с Шилкиной Л. А. и их микроструктуры, снимки которой получены Назаренко А. В. и Нагаенко А. В.; фотоэлектронных описании рентгеновских спектров, полученных Козаковым А. Т., и намагниченности ТР, измеренной Русалёвым Ю. И. Совместно с научным руководителем определена тема диссертации, обсуждены и сформулированы полученные результаты, выводы и научные

положения, а также подготовлены совместные публикации и доклады на конференциях. Консультировали по методикам некоторых измерений, Павленко А. В., Андрюшин К. П., Павелко А. А. и Болдырев Н. А. Автор благодарит всех этих коллег, без участия, помощи и консультаций которых работа могла бы не состояться.

Объём и структура работы состоят из введения, 4 разделов, заключения, списка цитируемой литературы из 107 наименований и 2 приложений, изложенных на 131 странице, включая 79 рисунков и 20 таблиц.

ОСНОВНОЕ СОДЕРЖАНИЕ РАБОТЫ

Во введении обосновывается актуальность темы исследования, сформулированы его цели и задачи, представлены объекты, продемонстрированы научная новизна результатов и их практическая значимость, сформулированы основные научные положения.

В первом разделе представлен обзор литературы по теме диссертации, где проанализировано современное состояние исследований в области дизайна, создания и исследования бессвинцовых мультиферроиков, анализируются особенности существующих материалов для сегнетоактивных накопителей энергии. Определены основные пути развития их исследований для указанных областей техники и технологии, а также проанализированы основные результаты, достигнутые в этом за последние годы.

Во втором разделе описаны методы изготовления образцов, в том числе метод двухстадийного твердофазного синтеза с промежуточным помолом из соответствующих оксидов и карбонатов квалификации осч, чда или ч и спекание керамики по обычной керамической технологии. Описаны методы исследования образцов: рентгенофазовый анализ измельчённой керамики для исключения влияния возникающих в процессе её изготовления поверхностных дефектов, напряжений и текстур, проведён с использованием дифрактометра ДРОН-3 на СоКα-излучении по схеме фокусировки по Брэтту – Брентано. Плотность керамики определяли методом взвешивания в н-октане,

а микроструктуру на поперечных сколах керамики без проводящего слоя - с помощью растрового JSM-6390L и сканирующего Carl Zeiss EVO 40 электронных микроскопов, а размер частиц — с использованием специального программного обеспечения. На прецизионном анализаторе импеданса Wayne Kerr 6500 B, Agilent E4980A, измерителя высоких сопротивлений Agilent 4339B, заливного криостата со встроенным нагревателем и электропечи были определены: диэлектрическая проницаемость на неполяризованных образцах в диапазоне температур T=(80...650) К и частот $f=(10^2...10^6)$ Гц; магнитодиэлектрический (MD), магнитоэлектрический (ML) и эффект магнитосопротивления (MC) при T=80 К и магнитной индукции B=0,86 Тл; Элементный состав определяли методом рентгеновской фотоэлектронной спектроскопии; намагниченность — на вибрационном магнитометре при комнатной температуре и индукции магнитного поля до 1,7 Тл.

В **третьем** разделе определена структура ТР $(Bi_{0.5}La_{0.5})_{1-x}Pb_xMnO_3$ и $(Bi_{0.5}La_{0.5})_{1-x}Ba_xMnO_3$ 0.03...0.10, $Bi_{0.5}La_{0.5}Mn_{1-x}Fe_xO_3$ где $Bi_{0.5}La_{0.5}Mn_{1-x}Co_xO_3$ где x=0.05...0.15 и $Bi_{0.5}La_{0.5}Mn_{01-x}Nb_xO_3$ где x=0...0.02 и влияние на неё модификаторов, показана связь между химическим составом, структурой макросвойствами. Bce исследованные TP. И кроме немодифицированного Bi_{0.5}La_{0.5}MnO₃, беспримесны и имеют структуру типа перовскита. Для ТР с модификаторами Рь2+ и Со3+ обнаружен инварный эффект, при котором структурные изменения происходят без изменения параметра a элементарной ячейки. Для $TP c Ba^{2+}$ и Co^{3+} наблюдаются признаки морфотропного фазового перехода, сопровождающиеся резким изменением параметра а. Микроструктура всех образцов мелкозернистая со средним размером D зерна в интервале от 4 до 17 мкм. Зёрна имеют [A18] форму многогранников, границы зёрен преимущественно плоские. Для ТР, модифицированных Nb5+, зёрна имеют форму правильной прямоугольной призмы, что свидетельствует об их свободном росте с участием жидкой фазы. образцов с добавлением Fe^{3+} и Co^{3+} скол керамики проходит преимущественно по зерну, что свидетельствует о сопоставимой прочности

самого зерна по сравнению с межзёренной прослойкой, а также об уходе значительной части модификаторов в межкристаллитные прослойки, формировании в них каркасных включений и цементации микроструктуры. Модифицирование TP катионами Pb^{2+} и Ba^{2+} приводит к снижению D и повышению итоговой плотности (рисунок 1). Увеличение доли Fe^{3+} практически не сказывается на D, а в случае TP с Co^{3+} наблюдается его уменьшение, что свидетельствует об изменении кинетики спекания. Снижение размера микроструктуры также свидетельствует о возрастании её дефектности и об изменении масштаба формируемых неоднородностей.

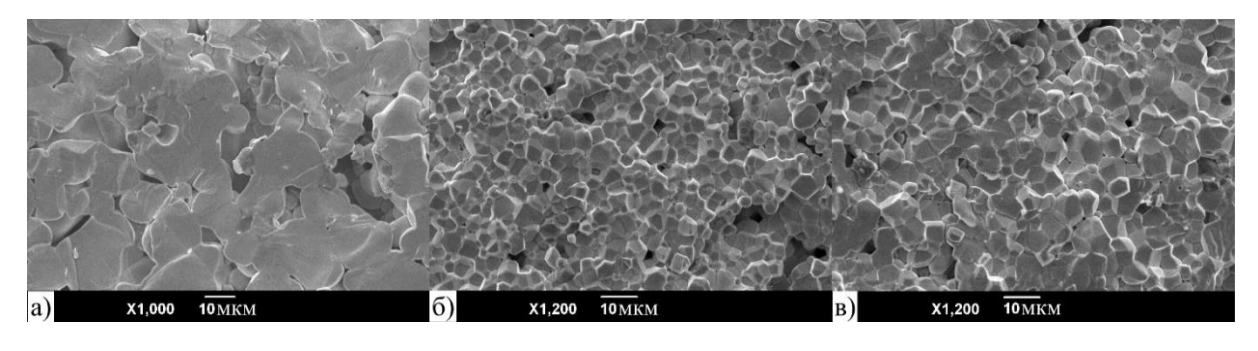


Рисунок 1 — Микроструктура участков поверхности скола разных составов ТР а) $Bi_{0.5}La_{0.5}MnO_3$, б) $(La_{0.5}Bi_{0.5})_{1-x}Pb_xMnO_3$ при x=0.10 в) $(La_{0.5}Bi_{0.5})_{1-x}Ba_xMnO_3$ при x=0.10 [A19].

На температурных зависимостях диэлектрической проницаемости для TP, модифицированных Fe^{3+} и Co^{3+} , в окрестности предполагаемого фазового перехода из парамагнитной в ферромагнитную фазу при T=(80...130) К наблюдаются сильно размытые максимумы, сдвигающиеся [A2, A20] в область высоких температур при увеличении частоты измерительного поля. Дальнейшее увеличение температуры приводит к резкому возрастанию действительной ε' и мнимой ε'' частей диэлектрической проницаемости и усилению дисперсии, что в случае ε'' , по всей видимости, связано с возрастанием электропроводности керамики. На основании зависимостей ε'' и ε' сделан вывод о том, что наблюдаемая релаксация не может быть отнесена к типу Дебая. Такой характер релаксации является следствием процессов накопления заряда на границах раздела: граница зерно — зерно, однородная кристаллическая структура — область сдвига, дислокационные границы, обусловленные неоднородным распределением противоположных катионов.

Свой вклад также вносит локальное нарушение стехиометрии состава, связанное с избытком или дефицитом анионов кислорода и катионов висмута, неоднородностью локальных состояний и электронно-дырочным обменом между разно-валентными катионами Mn³⁺ и Mn⁴⁺. Все эти неоднородности приводят к возникновению межслоевой поляризации типа Максвелла -Вагнера, оказывая влияние как непосредственно на диэлектрическое поведение объектов, так и на связь диэлектрической подсистемы и распределения магнитных моментов в керамике, согласно модели, предложенной Каталаном [4]. Для образца $Bi_{0.5}La_{0.5}Mn_{0.95}Fe_{0.05}O_3$ энергия активации $E_{\text{акт}} = 0.14$ эВ. Для образца $\text{Bi}_{0.5}\text{La}_{0.5}\text{Mn}_{0.95}\text{Co}_{0.05}\text{O}_3$ з $E_{\text{акт}} = 0.13$ эВ. Полученные значения $E_{\rm akt}$ связаны с процессами прыжковой проводимости между Mn³⁺ и Mn⁴⁺ и с ионизацией кислородных вакансий [A2, A15]. Эти процессы не только вносят вклад в проводимость, но также могут вызывать дипольные эффекты, ответственные за возникновение диэлектрической релаксации. Полученная нами керамика характеризовалась [А17] большой проводимостью при $T=80~{\rm K}$ и постоянном токе - $\gamma \sim 10^{-6} \, ({\rm Om} \cdot {\rm m})^{-1}$, что может быть связано с присутствием значительного числа ионов переменной валентности Mn^{3+}/Mn^{4+} . Для всех ТР при $T=80~\rm K$ и приложении внешнего магнитного поля обнаружено значительное отрицательное MC: для TP с Fe³⁺ оно составило 5 % и практически не изменялось с ростом доли модификатора (рисунок 2), из за того, что введение катионов Fe^{3+} не повлияло на величину D, а за счёт отличающейся от Mn^{3+} геометрии орбиталей Fe^{3+} нарушило свер хобменное взаимодействие между катионами марганца. Для ТР с Со³⁺ МС ослабевает с ростом доли модификатора, от 17 до 12 %, что, как и в случае с Fe^{3+} связано с нарушением сверхобменного взаимодействия. Для TP с Pb^{2+} и Ba^{2+} в A-подрешётке MC усиливалось с увеличением доли модификатора (x =0.03...0.10) до значений 43 и 25 %, соответственно, что объясняется повышением однородности микроструктуры и переходом части катионов Mn⁴⁺→Mn³⁺. Причём изменение валентности Мп подтверждается данными рентгеновской фотоэлектронной спектроскопии (рисунок 3).

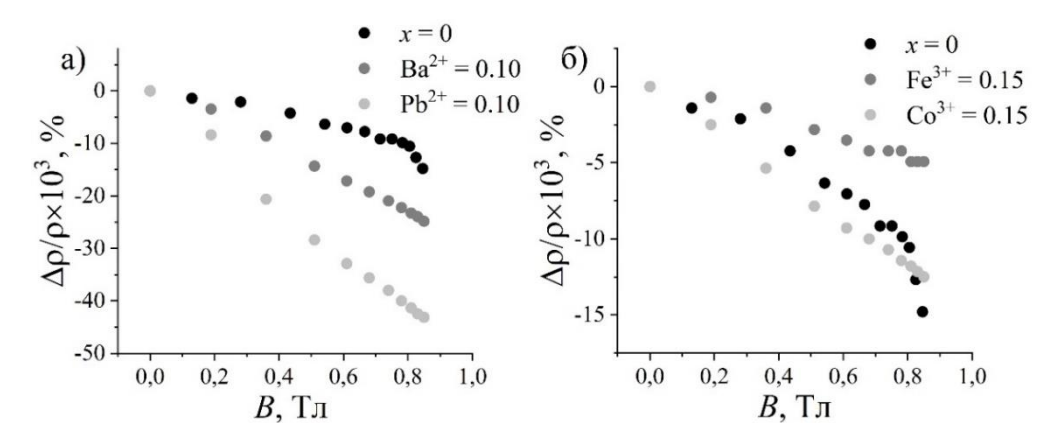


Рисунок 2 — Зависимость удельного сопротивления от B при 80 К для TP с ($La_{0.5}Bi_{0.5})_{0.90}Ba_{0.10}MnO_3$ и ($La_{0.5}Bi_{0.5})_{0.90}Pb_{0.10}MnO_3$ (a); для TP $Bi_{0.5}La_{0.5}Mn_{0.85}Fe_{0.15}O_3$ и $Bi_{0.5}La_{0.5}Mn_{0.85}Co_{0.15}O_3$ (б).

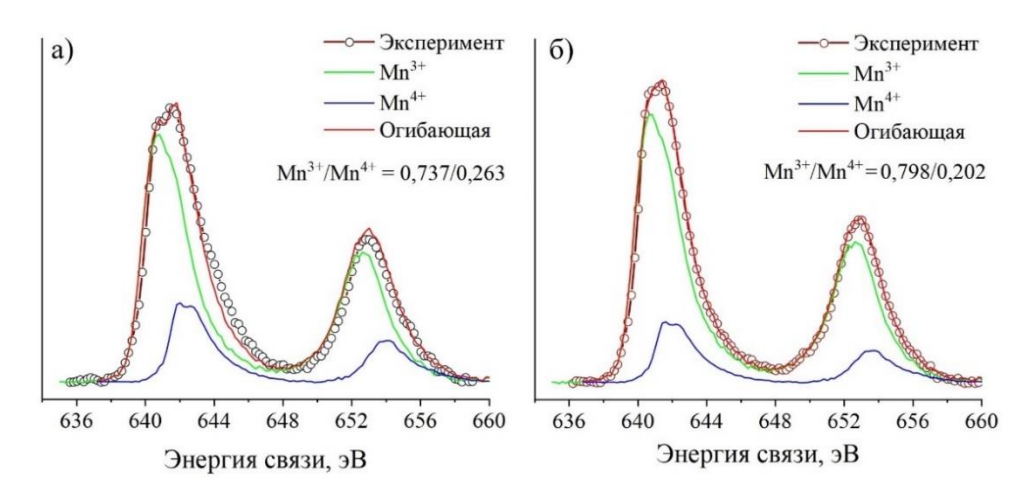


Рисунок 3 — Относительная концентрация ионов Mn^{3+} и Mn^{4+} в TP ($La_{0.5}Bi_{0.5})_{0.90}Pb_{0.10}MnO_3$ (а) и ($La_{0.5}Bi_{0.5})_{0.90}Ba_{0.10}MnO_3$ (б).

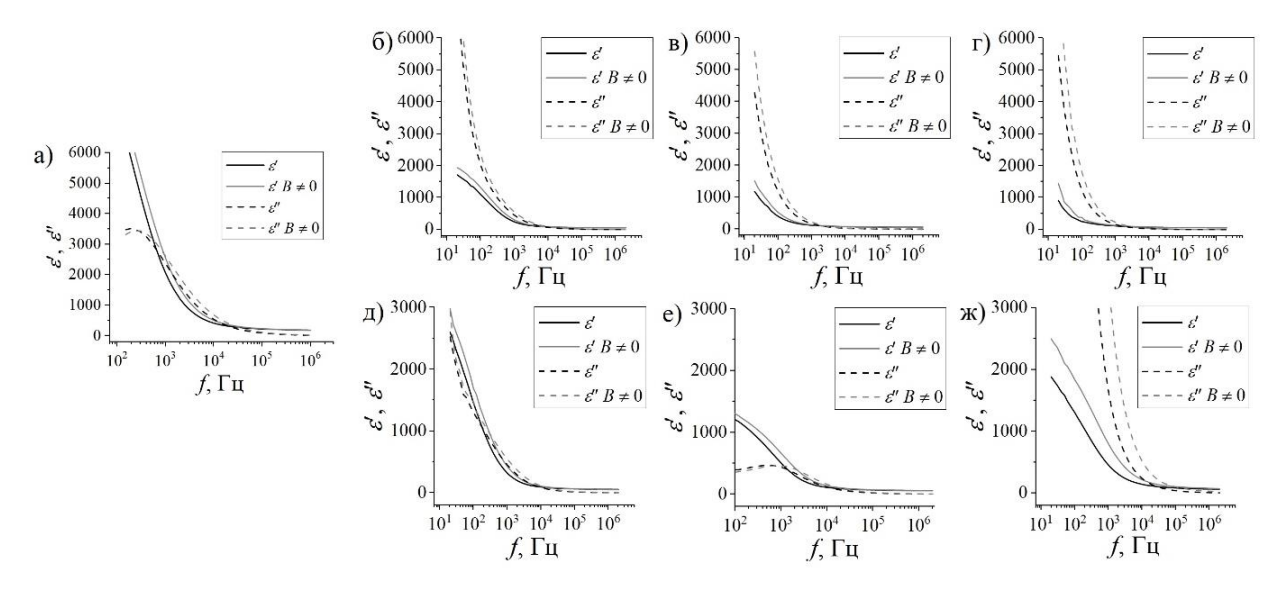


Рисунок 4 — Зависимости диэлектрической проницаемости при $T=80~{\rm K}$ и $f=(10^2...10^6)$ Гц в присутствии или отсутствии магнитного поля: без модификаторов (а) и с различными модификаторами

 $(La_{0.5}Bi_{0.5})_{1\text{-}x}Pb_xMnO_3\ (\text{б}-\Gamma),\ (La_{0.5}Bi_{0.5})_{1\text{-}x}Ba_xMnO_3\ (\text{д}-\varkappa).$

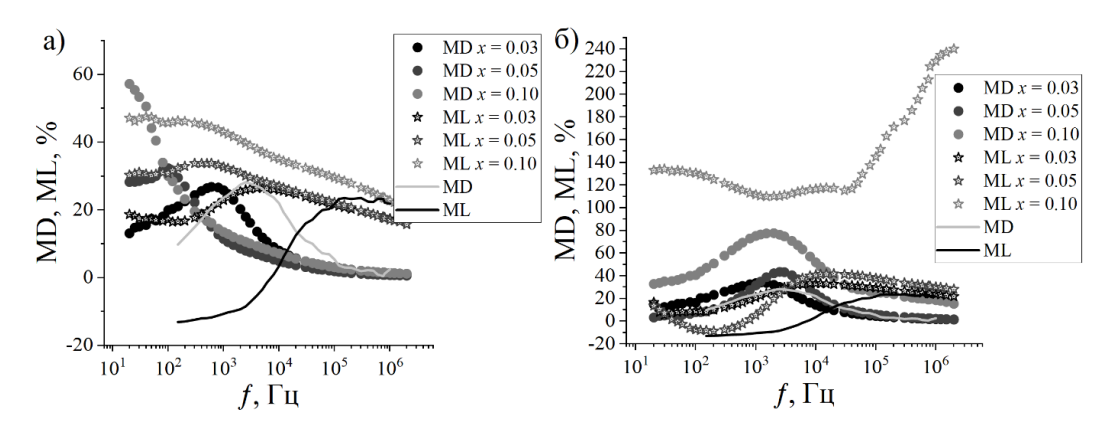


Рисунок 5 — Зависимости MD и ML TP от $f = (10^2 \dots 10^6)$ Гц при температуре 80 К и магнитной индукции B = 0.86 Тл. Для TP ($La_{0.5}Bi_{0.5}$)_{1-х} Ba_x MnO₃ (a) для TP ($La_{0.5}Bi_{0.5}$)_{1-х} Pb_x MnO₃ (б). Сплошная линия соответствует TP без модификатора.

Зависимости диэлектрической проницаемости (рисунок 4, а – ж) при T = 80 K и $f = (10^2...10^6)$ Гц сдвигаются в присутствии магнитного поля в область более высоких частот. Во всех TP обнаружены значительные MD и ML эффекты (рисунок 5). Для TP, модифицированных Co³⁺, максимальный MD изменялся от 31 до 25 % с увеличением доли модификатора. Для TP, модифицированных Ba²⁺, максимальный MD изменялся от 27 до 57 % с увеличением доли модификатора. Для ТР, модифицированных Рь²⁺ максимальный MD изменялся от 34 до 77 % с увеличением доли модификатора. Для единственного TP, модифицированного Nb^{5+} , MDснизился от 37 до 27 %. Значения MD, полученные для ТР, модифицированных Ba^{2+} и Pb^{2+} , превышают MD для $Bi_{0.5}La_{0.5}MnO_3$. По-видимому, изменение MD, вызвано значительными изменениями в MC микроструктуре соответствующей керамики и валентными состояниями катионов Mn^{3+} и Mn^{4+} в их составе.

Приведённые выше результаты позволили сформулировать *первое* и *второе* научные положения, выносимые на защиту.

В **четвёртом** разделе для TP системы $BaZr_xTi_{1-x}O_3$ с x=0.10;0.15;0.20;0.25;0.30 или 0.45 и системы $(1-y)BaZr_xTi_{1-x}O_3$ — $yAgNbO_3$ установлено влияние термодинамической предыстории на фазообразование и структуру керамики. Показана возможность изготовления TP $BaZr_xTi_{1-x}O_3$ методом двухстадийного твердофазного синтеза без образования примесных фаз с применением

механоактивации (МА) и без неё [А5, А6]. Установлено, что при концентрациях x = 0.15; 0.25 или 0.45 происходит возрастание относительной плотности TP, а при промежуточных концентрациях x = 0.10; 0.20 или 0.30 плотность TP значительно снижается (рисунок 6), что подтверждает предположение о наличии нескольких морфотропных областей. По данным рентгеноструктурного анализа интенсивность линии 110 твёрдого раствора, изготовленного без MA, оказалась ниже, с диффузным рассеянием и с сателлитами, чётко видными в её основании. В основании линии 110 твёрдого раствора, изготовленного с применением MA, сателлиты отсутствуют, как и диффузное рассеяние (рисунок 7).

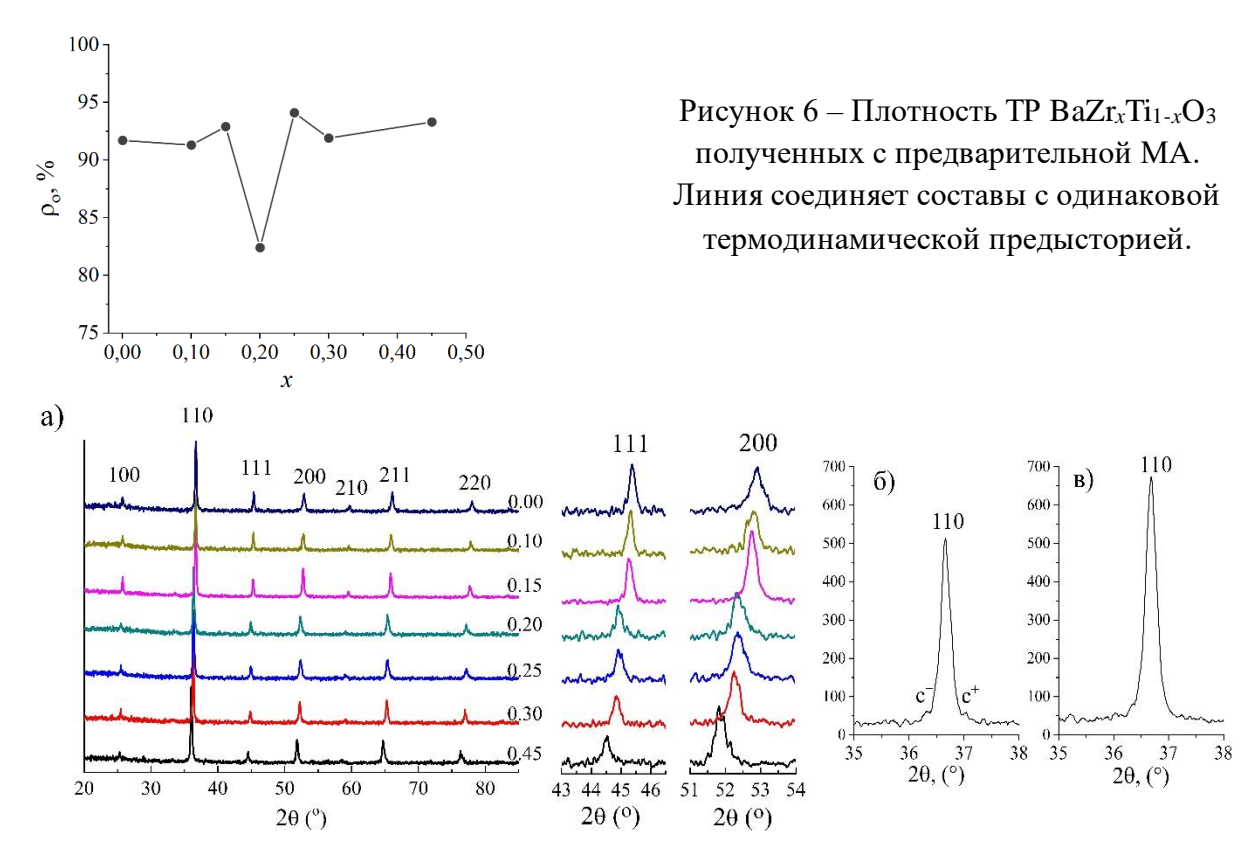


Рисунок 7 — Фрагменты рентгенограмм: (а) ТР $BaZr_xTi_{1-x}O_3$ спечённые при $T_{cn}=1733$ К. Числа в конце рентгенограмм показывают молярные концентрации x; пик 220 ТР c x = 0.15 (б) и пик 220 ТР c x = 0.15 с предварительной MA (в).

Длины волн модуляции составили, соответственно, 308 Å (по сателлиту c^-) и 293 Å (по сателлиту c^+), то есть средняя величина кластера в неоднородной структуре равна $\approx 300 \text{ Å}$. Кластерами - области, в которых произошла сегрегация атомов одного сорта, на которую указывает диффузное рассеяние.

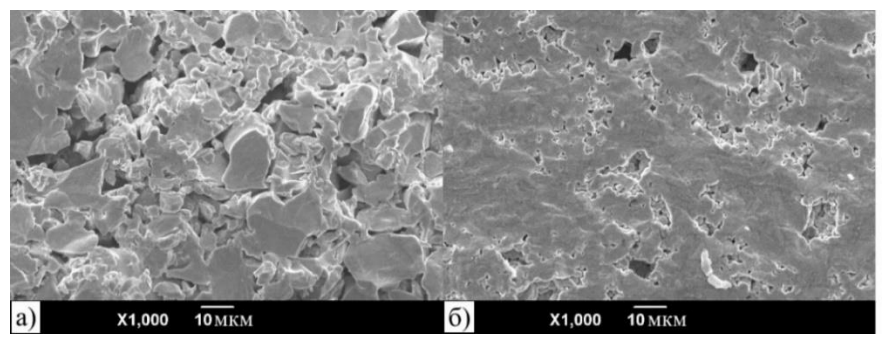


Рисунок 8 — Микроструктура поверхности скола ТР $BaTi_{1-x}Zr_xO_3$ x=0.20 спечённых без MA (а) и с предварительной MA (б)

Таким образом, можно сделать вывод, что использование МА при изготовлении ТР системы $BaZr_xTi_{1-x}O_3$ способствует образованию однородного состава с равномерным распределением Ti^{4+} и Zr^{4+} в кристаллической решётке. Использование МА также приводит (рисунок 8) к росту параметров плотности за счёт повышения реакционной способности перед спеканием и снижения пористости. Для TP $BaTi_{1-x}Zr_xO_3$, полученных при $T_{cn} = 1733$ К с предварительной МА и без, были исследованы зависимости действительной ε' и мнимой ε'' частей диэлектрической проницаемости от температуры (рисунок 9) на частотах измерительного поля $f = (10^2...10^6)$ Γ ц в интервале температур T = (300...650) К [A7].

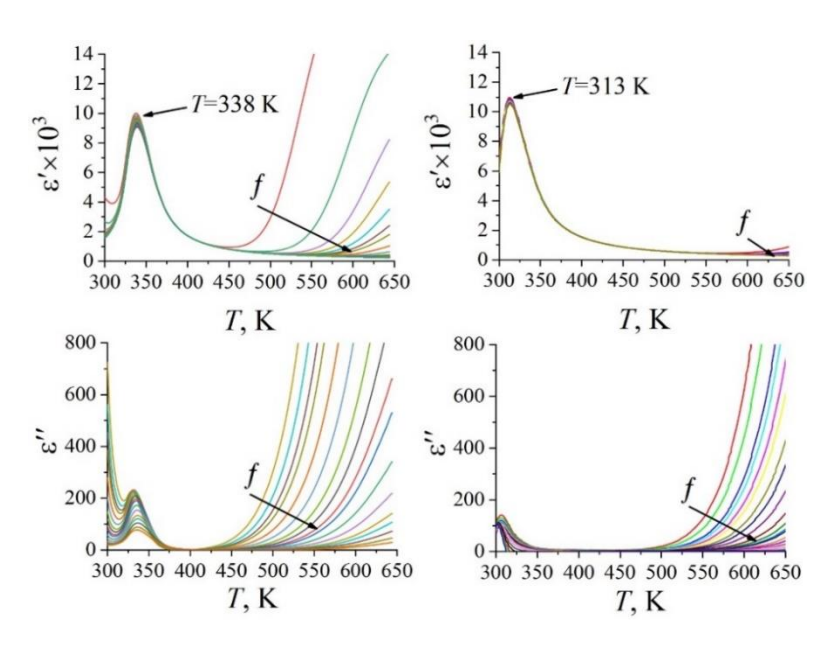


Рисунок 9 — Спектры диэлектрической проницаемости ТР $BaTi_{1-x}Zr_xO_3$ с x=0.15, полученные при T=(300...650) К и $f=(10^2...10^6)$ Гц без МА (слева) и с предварительной МА (справа).

На спектрах наблюдаются максимумы, связанные с фазовым пер еходом TP из сегнетоэлектрической фазы в параэлектрическую. Температуры этих максимумов снижаются при увеличении доли Zr^{4+} . Для TP, прошедших MA,

температуры максимумов ε' и ε'' испытывают дополнительное смещение в область более низких температур [A20], что является следствием повышения однородности структуры и, вероятно, разрушения кластерного упорядочения. При x=0.10; 0.15 или 0.20 ТР системы $BaTi_{1-x}Zr_xO_3$ демонстрируют релаксорное поведение, при котором максимум ε' испытывает смещение в область более высоких температур при увеличении частоты f. Эти результаты и позволили сформулировать *третье* научное положение.

Далее разработаны технологические регламенты приготовления беспримесных TP между $BaTi_{1-x}Zr_xO_3$ и $AgNbO_3$ со структурой типа перовскита методом двухстадийного твердофазного синтеза из прекурсоров. Установлено, что полученные TP беспримесные и не являются однородными (рисунок 10) при комнатной температуре.

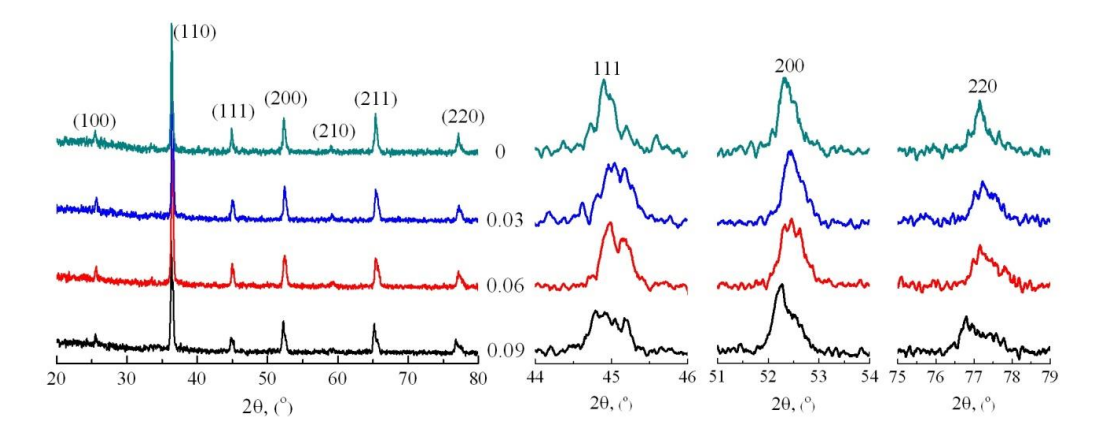


Рисунок 10 — Рентгенограммы ТР (1 - y)Ва $Ti_{0.80}$ Zr $_{0.20}$ О $_3$ —yAgNbO $_3$ и дифракционные пики 111, 200, 220 в увеличенном масштабе.

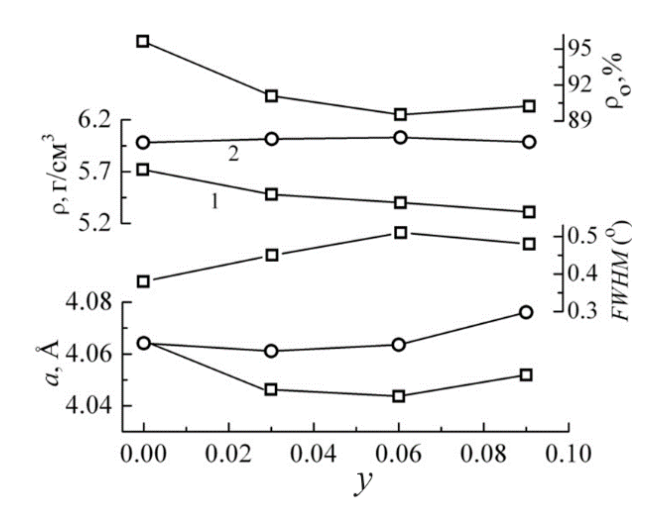


Рисунок 11 — Параметр ячейки, *а*, полуширина *FWHM* дифракционного пика 200, экспериментальная (1), рентгеновская (2) и относительная плотности для разных составов TP (1 - *y*)ВаТі_{0.80}Zr_{0.20}O₃—*y*AgNbO₃ от содержания AgNbO₃

Введение AgNbO₃ в эти твёрдые растворы позволило снизить температуру спекания TP, сохраняя беспримесность и высокую плотность за счёт появления дополнительных центров кристаллизации. Однако повышение концентрации AgNbO₃ ведёт к дестабилизации зёренной структуры и формированию (рисунок 11) двух сосуществующих перовскитных фаз с близкими параметрами a элементарной ячейки [A4].

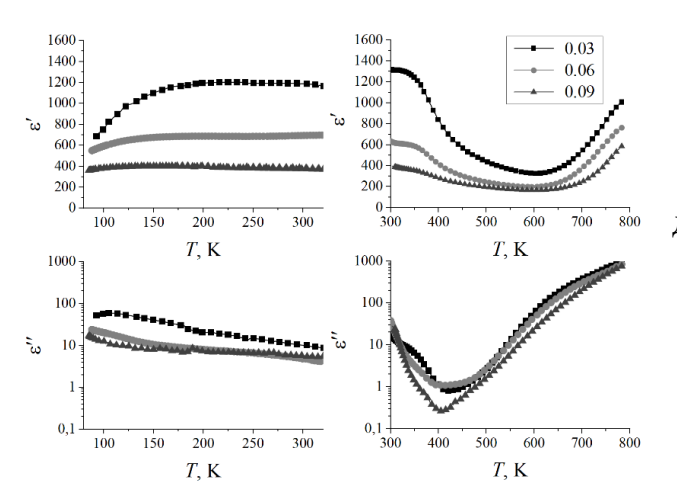


Рисунок 12 — Сравнение спектров диэлектрической проницаемости TP (1-y)BaTi_{0.85}Zr_{0.15}O₃—yAgNbO₃ c y = 0.03...0.09 при $f = 10^3$ Гц.

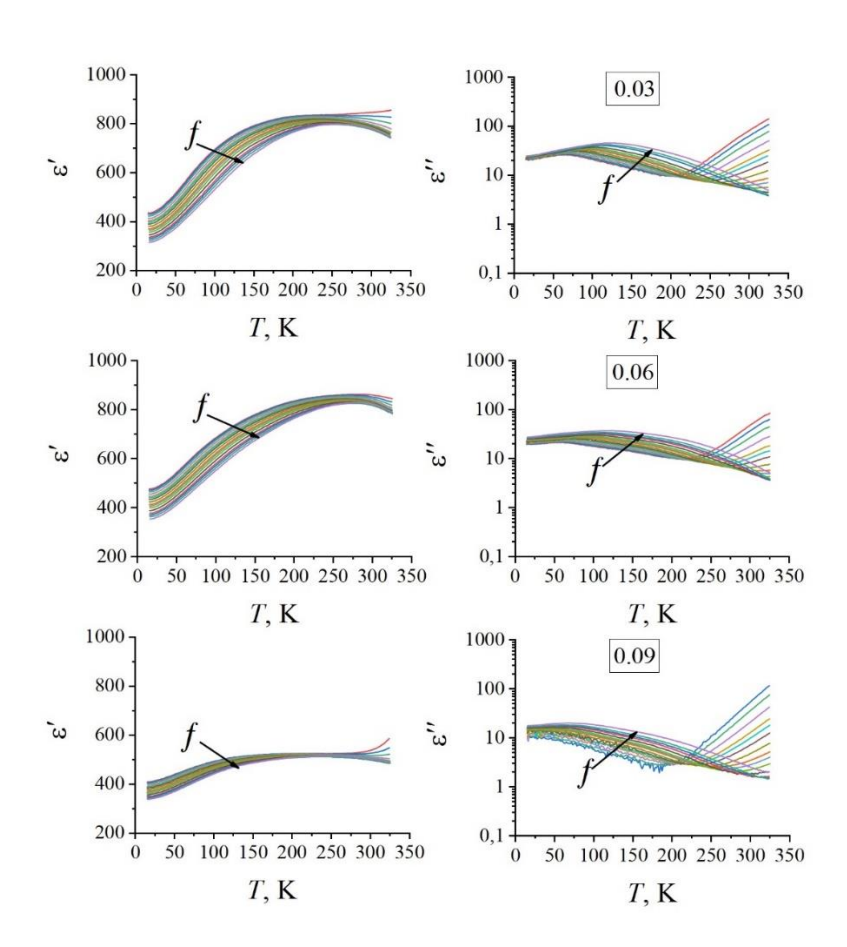


Рисунок 13 — Зависимости $\varepsilon'(T)$ и $\varepsilon''(T)$ составов (1-y)Ва $Ti_{0.80}Zr_{0.20}O_3$ —yAgNbO₃ при y = 0.03, 0.06 и 0.09 при T = (15...320) К и $f = (10^2...10^6)$ Гц в режиме нагрева.

При введении AgNbO₃ в составы BaTi_{1-x}Zr_xO₃ с концентрациями Zr⁴⁺ x = 0.15, 0.20, 0.25 или 0.30 на спектрах диэлектрической проницаемости формируются (рисунок 12 и 13) широко размытые максимумы, связанные с наличием фазового перехода керамики в состояние типа дипольного стекла. При T = (280...340) К наблюдается усиление частотной дисперсии диэлектрических параметров, которое сопровождается уменьшением величины диэлектрической проницаемости. Такое поведение свидетельствует о начале перехода керамики TP в состояние типа замороженного дипольного стекла, которое не завершается в исследуемом температурном интервале. Эти результаты позволили сформулировать **четвёртое** научное положение, выносимое на защиту.

На основании сер ии измерений петель диэлектрического гистерезиса ТР между прекурсорами $BaTi_{1-x}Zr_xO_3$ и $AgNbO_3$ нами установлено, что эти петли P-E не испытывают насыщения (рисунок 14) вплоть до напряжения пробоя (НП). Введение небольших долей $AgNbO_3$ приводит к его снижению, что объясняется дестабилизацией микроструктуры, однако НП вновь возрастает при концентрации $AgNbO_3$ равной 0.09. Можно было бы ожидать, что введение больших долей $AgNbO_3$ приведёт к увеличению НП, но при этом усилит фазовое расслоение, которое могло бы привести к возникновению дополнительных нежелательных эффектов.

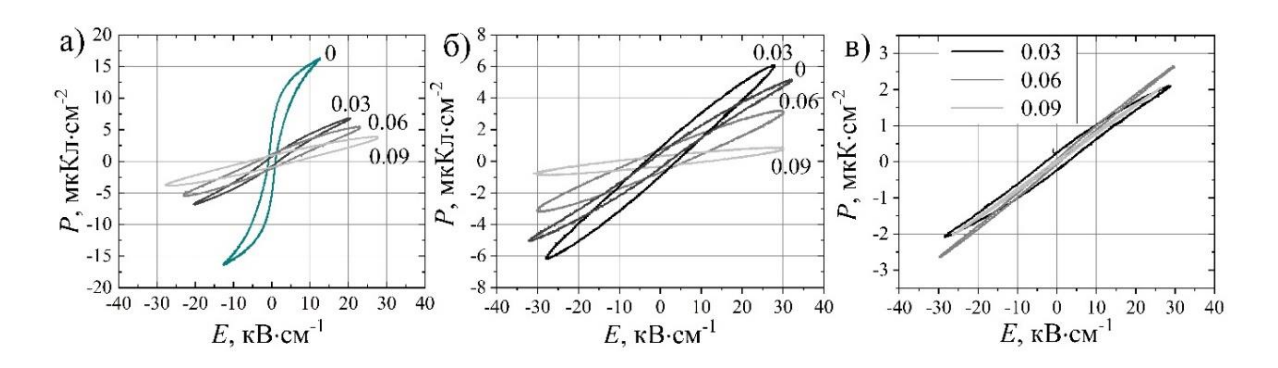


Рисунок $14 - \Pi$ етли P-E для TP $(1-y)BaTi_{0.85}Zr_{0.15}O_3$ –yAgNbO₃(a), $(1-y)BaTi_{0.80}Zr_{0.20}O_3$ –yAgNbO₃ (б) и $(1-y)BaTi_{0.70}Zr_{0.30}O_3$ –yAgNbO₃ (в). Концентрации y показана на поле рисунка.

По результатам эксперимента нами выявлены составы [A1] с наибольшими величинами запасённой энергии W и коэффициента полезного действия η (таблица 1). Расчёты выполнены по формулам:

$$W_{
m per}=\int_{P_{
m oct}}^{P_{
m Makc}} EdP$$
; $W=\int_{0}^{P_{
m Makc}} EdP$; $\eta=rac{W_{
m per}}{W}\cdot 100\%$,

где W представляет собой плотность накопленной энергии, $W_{\rm pek}$ — восстанавливаемую плотность накопленной энергии, $P_{\rm makc}$ и $P_{\rm oct}$ — соответственно, максимальную и остаточную поляризации.

Таблица 1 — Значения W, $W_{\text{рек}}$ и η , полученные по результатам аппроксимации петель P-E при напряжённости поля E = 2 кВ различных составов ТР

Состав	<i>W</i> , Дж·см ^{−3}	$W_{\rm per}$, Дж·см $^{-3}$	η, %
BaTi _{0.85} Zr _{0.15} O ₃ без AgNbO ₃	0,080	0,043	53
BaTi _{0.85} Zr _{0.15} O ₃ + 3 мол. % AgNbO ₃	0,074	0,055	74
BaTi _{0.80} Zr _{0.20} O ₃ без AgNbO ₃	0,088	0,068	77
BaTi _{0.80} Zr _{0.20} O ₃ + 3 мол. % AgNbO ₃	0,086	0,065	76

Установлено, что форма петель P-E модифицированных TP аналогична форме, известной для сегнетомягких материалов. Полученные данные целесообразно использовать для оптимизации процессов производства бессвинцовой сегнетокерамики на основе TP $BaZr_xTi_{1-x}O_3$ с добавлением $AgNbO_3$, в том числе для упрощения технологии синтеза и достижения более низкой температуры спекания, обеспечивающей оптимизацию ряда физических свойств.

В Заключении представлены основные научные результаты и выводы.

- 1. Оптимизированы параметры технологии изготовления беспримесных TP $Bi_{0.5}La_{0.5}Mn_{1-x}Fe_xO_3$, $Bi_{0.5}La_{0.5}Mn_{1-x}Co_xO_3$ ($Bi_{0.5}La_{0.5})_{1-x}Pb_xMnO_3$, ($Bi_{0.5}La_{0.5})_{1-x}Ba_xMnO_3$, $Bi_{0.5}La_{0.5}Mn_{0.98}Nb_{0.02}O_3$, $BaZr_xTi_{1-x}O_3$ и $AgNbO_3$ при заданных x методом двухстадийного твердофазного синтеза.
 - 2. Показано, что частичное замещение катионами Ba^{2+} , Co^{3+} , Pb^{2+} , Nb^{5+} приводит к уменьшению D и повышению однородности TP по сравнению с чистым $Bi_{0.5}La_{0.5}MnO_3$. Установлено, что для TP с Fe^{3+} этот эффект менее выражен.

Установлены корреляции прочностных свойств микроструктуры их керамики с вводимыми модификаторами.

- 3. Установлено, что в TP $Bi_{0.5}La_{0.5}Mn_{0.95}Fe_{0.05}O_3$, $Bi_{0.5}La_{0.5}Mn_{0.95}Co_{0.05}O_3$ на зависимостях $\varepsilon'(T)$ и $\varepsilon''(T)$ в диапазоне температур T=(80...150) К возникают экстремумы, являющиеся следствием недебаевской диэлектрической релаксации, которые смещаются в область высоких температур с возрастанием частоты измерительного поля. Причинами этого, по всей видимости, является поляризация типа Максвелла Вагнера в системе кристаллит прослойка и зависимые от температуры окислительно-восстановительные процессы.
- 4. Для TP ($La_{0.5}Bi_{0.5}$)_{1-х} Pb_xMnO_3 и $Bi_{0.5}La_{0.5}Mn_{1-x}Co_xO_3$ обнаружен инварный эффект, при котором структурные изменения происходят без изменения параметра ячейки a, а для TP ($La_{0.5}Bi_{0.5}$)_{1-х} Ba_xMnO_3 и $Bi_{0.5}La_{0.5}Mn_{1-x}Co_xO_3$ наблюдаются признаки морфотропного фазового перехода, сопровождающиеся резким изменением параметра элементарной ячейки.
- 5. При изовалентном замещении в $Bi_{0.5}La_{0.5}MnO_3$ катионов B магнитоактивными катионами Fe^{3+} или Co^{3+} происходит ослабление эффекта MC вследствие нарушения сверхобменного взаимодействия в цепочках $Mn^{3+}-O^{2-}-Mn^{4+}$.
- 6. При гетеровалентном замещении в подрешётке $Bi_{0.5}La_{0.5}MnO_3$ катионов A катионами Pb^{2+} и Ba^{2+} наблюдается усиление эффекта MC вследствие повышения однородности структуры и увеличения доли катионов Mn^{3+} .
- 7. При замещении катионов B в подрешётке $Bi_{0.5}La_{0.5}MnO_3$ катионами Nb^{5+} , наблюдается усиление эффекта MC вследствие повышения однородности микроструктуры и повышения её плотности.
- 8. В твёрдых растворах $Bi_{0.5}La_{0.5}Mn_{1-x}Fe_xO_3$ и $Bi_{0.5}La_{0.5}Mn_{1-x}Co_xO_3$, где x=0.05; 0.1 или 0.15, $(Bi_{0.5}La_{0.5})_{1-x}Pb_xMnO_3$, $(Bi_{0.5}La_{0.5})_{1-x}Ba_xMnO_3$ где x=0.03; 0.05 или 0.1 и $Bi_{0.5}La_{0.5}Mn_{0.98}Nb_{0.02}O_3$ основной вклад в электропроводность при низких температурах вносит механизм прыжковой проводимости, и имеющий характерные значения энергий активации $E_a=(0,1...0,2)$ эВ и времён релаксации порядка 10^{-4} с.
- 9. Введение модифицирующих добавок в *А* и *В*-подрешётки ТР манганита лантана-висмута со структурой типа перовскита позволяет в значительных пределах управлять магнитоёмкостью, возникающей как комбинация явлений типа максвелл—вагнеровская поляризация и МС.
- 10. Применение механоактивации перед спеканием твёрдых растворов $BaZr_xTi_{1-x}O_3$ с x=0.10...0.45 позволяет оптимизировать

температурно-временные регламенты, в том числе, добиться снижения температуры спекания на 50 K, повышения относительной плотности, однородности структуры и микроструктуры керамики.

- 11. Повышение химической однородности структуры в ТР $BaTi_{1-x}Zr_xO_3$ приводит к снижению температуры фазового перехода и диэлектрической проницаемости.
- 12. В ТР Ва $Ti_{1-x}Zr_xO_3$ с модификатором AgNbO₃ обнаружены широкие области температурной стабильности диэлектрических параметров, а на основании серии измерения петель диэлектрического гистерезиса P-E выявлены составы с наибольшими запасённой энергией и значениями η .
- 13. Введение AgNbO₃ в твёрдый раствор BaZr_xTi_{1-x}O₃ в мор фотропной области x = (0.15...0.30), способствует переходу керамики данных твёрдых растворов в состояние типа дипольного стекла при низких температурах.

Цитированная литература

- 1. Клименков, Б. Д. Развитие и области применения сегнетоэлектрических материалов. От прошлого к будущему / Б. Д. Клименков. // Молодой ученый. 2015. № 8 (88). С. 256-260.
- 2. Устинов А. Б., Калиникос Б. А. Амплитудно-частотная характеристика нелинейного спинволнового интерферометра в квазинелинейном режиме работы // Письма в ЖТФ. —2006. Т. 32(8). С. 60-70.
- 3. Пятаков А. П., Звездин А. К. Магнитоэлектрические материалы и мультиферроики // УФН. Т. 182. С. 593–620.
- 4. Catalan G. Magnetocapacitance without magnetoelectric coupling // Applied Physics Letters. 2006. V. 88. P. 102902-1-5.

Основные публикации автора

- A1. Phase Formation and Properties of Multicomponent Solid Solutions Based on Ba(Ti, $Zr)O_3$ and $AgNbO_3$ for Environmentally Friendly High-Efficiency Energy Storage / D. V. Volkov, E. V. Glazunova, L. A. Shilkina [et al.] // Ceramics. -2023. Vol. 6, N 3. P. 1840-1849.
- A2. Influence of phase formation conditions on the dielectric properties of $Bi_{0.5}La_{0.5}MnO_3$ ceramics modified with magnetoactive elements / **D. V. Volkov**, A. A. Pavelko, A. V. Nagaenko [et al.] // Ferroelectrics. $-2022.-Vol.\ 592,\ No.\ 1.-P.\ 143-150.$
- А3. Влияние оксида Nb_2O_5 на фазообразование, магнитнито-диэлектрические и магнитнито-резистивные свойства твердых растворов $Bi_{0.5}La_{0.5}MnO_3 \pm \sigma$ / Д. В. Волков, А. В. Назаренко, Л. А. Шилкина, И. А. Вербенко // Известия Российской академии наук. Серия физическая. − 2023. − Т. 87, № 9. − С. 1248–1254.
- A4. Energy Harvesting Devices Based on Solid Solutions of Barium Titanate-Zirconate and Silver Niobate / **D. V. Volkov**, A. A. Pavelko, A. S. Korolkova [et al.] // Springer Proceedings

in Materials : Physics and Mechanics of New Materials and Their Applications. PHENMA 2023. – 2024. – Vol. 41. – P. 523–531.

А5. Термодинамическая предыстория и структурные параметры твёрдых растворов системы $BaTiO_3$, $BaZrO_3$, $AgNbO_3$ / Д. В. Волков, А. В. Назаренко, К. Г. Москалев, А. С. Королькова, Л. А. Шилкина, И. А. Вербенко // Конструкции из композиционных материалов. – 2023. — № 3 (171). — С. 47–50.

А6. Влияние термодинамической предыстории на фазообразование и структурные характеристики системы твёрдых растворов $BaZr_xTi_{1-x}O_3/T$. В. Шикина, М. Ю. Скрыпник, Д. В. Волков, Л. А. Шилкина // Донецкие чтения 2022: образование, наука, инновации, культура и вызовы современности : VII Международная научная конференция, посвящённая 85-летию Донецкого национального университета, г. Донецк 27-28 октября 2022 г.: материалы конференции в 10 т. - Т. 2 : Физические, технические и компьютерные науки. – Донецк : Дон НУ, 2022. – С. 170–172.

А7. Влияние механоактивации на фазообразование и структурные характеристики системы твёрдых растворов на основе $BaZr_xTi_{1-x}O_3$ / М. Ю. Скрыпник, Т. В. Шикина, Д. В. Волков, Л. А. Шилкина // Физика бессвинцовых пьезоактивных и родственных материалов. Моделирование эко-систем (Анализ современного состояния и перспективы развития) : труды Одиннадцатого Международного междисциплинарного молодежного симпозиума, Ростов-на-Дону, 26-28 декабря 2022 года : в 2 томах. Т. 1 / Министерство науки и высшего образования Российской Федерации Федеральное государственное автономное образовательное учреждение высшего образования "Южный федеральный университет" [и др.]. — Ростов-на-Дону ; Таганрог : Издательство Южного федерального университета, 2022. — С. 221–225. —

А8. Фазообразование и диэлектрические характеристики модифицированных твёрдых раствор на основе ВZТ / Д. В. Волков, К. Г. Москалев, Е. В. Глазунова, Л. А. Шилкина // Физика бессвинцовых пьезоактивных и родственных материалов. Моделирование эко-систем (Анализ современного состояния и перспективы развития) : труды Одиннадцатого Международного междисциплинарного молодёжного симпозиума, Ростов-на-Дону, 26-28 декабря 2022 года: в 2 томах. Т. 1 / Минобрнауки Российской Федерации, Южный федеральный университет [и др.]. – Ростов-на-Дону; Таганрог: Изд-во Южного федерального университета, 2022. – С. 48–52.

A9. Phase formation and the effect of phase formation on the dielectric and magnetic properties of solid solutions $Bi_{0.5}La_{0.5}MnO_3$ modified with Nb_2O_5 / **D. V. Volkov**, A. V. Nazarenko, L. A. Shilkina, I. A. Verbenko // 10(15) Международный семинар по физике сегнетоэластиков: материалы 10(15) Международного семинара (г. Воронеж, 18-21 сентября 2022 г.). – Воронеж : Воронежский государственный технический университет, 2022. – Р. 90–92.

A10. Структура и физические свойства твердых растворов LaMn_{1-x}Cu_xO₃ с x = 0.0 - 0.5 / К. Г. Москалев, Д. В. Волков, А. О. Галатова, [и др.] // 10(15) Международный семинар по физике сегнетоэластиков: материалы 10(15) Международного семинара (г. Воронеж, 18-

- 21 сентября 2022 г.). Воронеж: Воронежский государственный технический университет, 2022. С. 96–98.
- А11. Структура, диэлектрические и магнитные свойства систем твёрдых растворов на основе манганита лантана- висмута, модифицированного оксидом ниобия / Д. В. Волков, А. А. Павелко, Л. А. Шилкина, И. А. Вербенко // ВНКСФ 26.2 : Всероссийская научная конференция студентов-физиков и молодых учёных : материалы конференции : информационный бюллетень : в 2 т. Т. 2. Екатеринбург ; Ростов-на-Дону ; Уфа : АСФ России, 2022. С. 15-16.
- А12. Волков, Д. В. Влияние изо- и гетеровалентного замещения на технологию получения и макроотклики твёрдых растворов на основе (La,Bi)MnO₃ / Д. В. Волков, Л. А. Шилкина, А. В. Нагаенко // Студенческая научная весна 2022 : сборник тезисов XII Всероссийской научно-практической молодёжной конференции, Волгодонск, 4-8 апреля 2022 г. –Москва : НИЯУ МИФИ ; Волгодонск : ВИТИ НИЯУ МИФИ, 2022. С. 100-101. –
- А13. Волков, Д. В. Влияние условий фазообразования на термочастотную нелинейность диэлектрических свойств керамик $Bi_{0.5}La_{0.5}MnO_3$ модифицированных магнитоактивными элементами / Д. В. Волков // XXII Всероссийская конференция по физике сегнетоэлектриков (ВКС-XXII), 25-28 августа 2021, Уральский федеральный университет, Екатеринбург, Россия : сборник тезисов. Екатеринбург : Уральский федеральный университет, 2021. С. 271-272.
- А14. Магнетосопротивление в твёрдых растворах на основе манганита лантанависмута: экспериментальные значения и возможные механизмы / Д. В. Волков, И. А. Вербенко, Л. А. Шилкина, [и др.] // Вестник Луганского государственного университета имени Владимира Даля. -2021. № 5(47). -C. 95-97.
- А15. Волков, Д. В. Формирование структурных и диэлектрических характеристик в керамике $La_{0,5}Bi_{0,5}Mn_{1-x}Z_xO_3$ (Z=Fe, Co) / Д. В. Волков, Н. А. Болдырев, И. А. Вербенко // Актуальные проблемы пьезоэлектрического приборостроения : сборник трудов III молодежной всероссийской с международным участием научной конференции, посвященной 20-летию Факультета высоких технологий, 20-23 сентября 2021 г., Ростов-на-Дону. Ростов-на-Дону: Фонд науки и образования, 2021. С. 163-166.
- А16. Влияние Co^{3+} , Fe^{3+} на фазообразование структурные и микроструктурные свойства керамики $Bi_{0.5}La_{0.5}Mn_{1-x}Z_xO_3$ (Z=Co, Fe) / Д. В. Волков, А. А. Павелко, Л. А. Шилкина, И. А. Вербенко // Физика бессвинцовых пьезоактивных и родственных материалов. Моделирование эко-систем (Анализ современного состояния и перспективы развития) : труды Десятого Международного междисциплинарного молодежного симпозиума, г. Ростов-на-Дону, 27-28 декабря 2021 года : в 2 т. Т. 1. Ростов-на-Дону : Южный федеральный университет, 2021. С. 34-38.
- А17. Эффекты изо- и гетеровалентного замещения в твердых растворах на основе (La,Bi)MnO₃ / Д. В. Волков, И. А. Вербенко, Е. В. Глазунова, Л. А. Шилкина // Вестник Луганского государственного университета имени Владимира Даля. 2020. № 10(40). C. 101-104.

А18. Магнитодиэлектрический эффект в твёрдых растворах на основе Bi_{0.5}La_{0.5}MnO₃ при 80 К / Д. В. Волков, А. В. Павленко, Е. В. Глазунова, И. А. Вербенко // Оптика и спектроскопия конденсированных сред: материалы XXVI Международной конференции / Министерство науки и высшего образования РФ, Кубанский государственный университет, Научный совет РАН по физике конденсированного состояния, Академия инженерных наук имени А. М. Прохорова. – Краснодар: Кубанский государственный университет, 2020. – С. 171-175.

А19. Влияние изо- и гетеровалентного замещения на структурные и электрические свойства твёрдых растворов на основе (La,Bi)MnO₃ / Д. В. Волков, И. А. Вербенко, Л. А. Шилкина, А. В. Нагаенко // Физика бессвинцовых пьезоактивных и родственных материалов. Моделирование эко-систем (Анализ современного состояния и перспективы развития) : сборник трудов Девятого Международного междисциплинарного молодёжного симпозиума (Ростов-на-Дону, 28-30 декабря 2020 г.) : в 2 томах. Т. 1. – Ростов-на-Дону ; Таганрог : Издательство Южного федерального университета, 2020. – С. 92–97.

А20. Диэлектрические свойства трехкомпонентных твёрдых растворов состава $Bi_{1-x}La_xMnO_3$ при высоких температурах / **Д. В. Волков**, И. А. Вербенко, Е. В. Глазунова, Л. А. Шилкина // ВНКСФ-26 : двадцать шестая Всероссийская научная конференция студентовфизиков и молодых ученых : материалы конференции : информационный бюллетень, Уфа, Башкортостан, 2020. — Екатеринбург ; Ростов-на-Дону ; Уфа : Альтаир, 2020. — С. 69–70.

А21. Волков, Д. В. Диэлектрические характеристики и морфотропные области в твёрдых растворах системы BaTiO₃-BaZrO₃/Д. В. Волков, А. С. Королькова, Е. И. Ситало // Наука, образование, инновации: Первый международный научный симпозиум студентов, аспирантов и молодых ученых, 19 мая 2023 года / ФГБУН «Комплексный научно-исследовательский институт им. Х.И. Ибрагимова Российской академии наук». — Грозный: ФГБУН КНИИ РАН, 2023. — С. 27—30.

Работа выполнена при поддержке следующих проектов: Государственное задание в сфере научной деятельности, проект № 3.6439.2017/8.9 2017-2019 г.; Государственное задание в сфере научной деятельности, проект № 0852-2020-0032 2020-2022 г.; Государственное задание в сфере научной деятельности, проект № FENW-2022-0033 2022-2023 г.; Государственное задание в сфере научной деятельности, проект № FENW-2023-0010/(Г30110/23-11-ИФ) 2023 г.